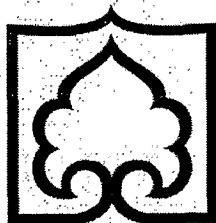


الله
يَعْلَمُ
مَا يَعْمَلُونَ



دانشگاه زنجان
دانشکده فنی و مهندسی
گروه برق و کامپیوتر

پایان نامه کارشناسی ارشد

کرایش: الکترونیک دیجیتال

استخراج مؤلفه P300 سیگنالهای EEG با روش موجک در
P300 speller paradigm، مبتنی بر سیستم BCI

نگارش: مجید گیامینی

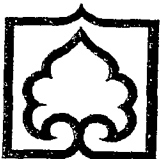
دانشگاه علوم پزشکی
دانشکده پرستاری

استاد راهنمای: دکتر شاهپور علیرضایی

۱۳۸۸/۶/۹

استاد مشاور: مهندس بهرام پرسه

تیر ۱۳۸۸



دانشگاه رازجان

بسمه تعالیٰ

شماره: سه ماهه

تاریخ: ۱۳/۱۵/۸۸

پیوست:

صور تجلیسه دفاع پایان نامه تحصیلی دوره کارشناسی ارشد

با تأییدات خداوند متعال و با استعانت از حضرت ولی عصر (عج) جلسه دفاع از پایان نامه کارشناسی ارشد آقای مجید کیامینی

رشته: مهندسی برق (الکترونیک) تحت عنوان: استخراج مولفه P300 از سیگنال EEG با روش ویولت در سیستم

P300 Speller Paradigm BCI

که در تاریخ ۲۴/۱۰/۱۴۰۷ حضور هیأت محترم داوران در دانشگاه رازجان برگزار گردید به شرح زیر است:

دفاع مجدد مردود امتیاز: میتوس عالی قبول (با درجه: عالی)

دانشگاه رازجان
دستگاه اطلاعات مارک صحنی پژوه

۱۳۹۸/۶/۱ -

ردیف	عضو هیأت داوران	نام و نام خانوادگی	رتبه علمی	زمینه
۱	استاد راهنمایی	دکتر شاهپور علیرضا	استادیار	مری
۲	استاد مشاور	مهندس بهرام پرسه	استادیار	مری
۳	استاد ممتحن	دکتر شهرام محمدی	استادیار	مری
۴	استاد ممتحن	دکتر سعید فصلی	استادیار	مری
۵	ناینده تحصیلات تكمیلی	دکتر امیر مسعود رحیمی	استادیار	مری

دانشگاه رازجان
دکتر سید حسینی هیر موسوی
مدیر تحصیلات تکمیلی دانشگاه

دکتر مهندس محمد مصطفوی
معاون آموزشی دانشکده هندسی

تمام حقوق این اثر برای نویسنده محفوظ می‌باشد.

تقدیم به پدر و مادرم

تشکر و قدردانی

خدا را شاکرم از اینکه این توفیق را به من ارزانی داد تا بتوانم در مقطع کارشناسی ارشد وارد شوم
و در محضر اساتید و دوستان عزیزم درس علم و اخلاق تلمذ نمایم.

اکنون که این تحقیق به پایان رسیده است، بر خود لازم می‌دانم از استاد راهنمای ارجمند جناب آقای دکتر شاهپور علی رضایی که هم در دوران تحصیل و هم در طول مدت اجرای این تحقیق همواره از نظرات و راهنمایی‌های ارزنده‌شان بهره‌مند شده‌ام تشکر و قدردانی نمایم. همچنین از استاد مشاور گرامیم آقای دکتر بهرام پرسه که در نهایت شکیبایی و متانت زکات علم خویش را در طبق اخلاص نهادند نهایت تشکر و سپاسگزاری را دارم. از کلیه اساتید گروه برقه دانشگاه زنجان بویشه آقایان دکتر شهرام محمدی، دکتر سعید فضلی، دکتر وحید رشتچی، دکتر ابوالفضل جلیل وند و دکتر حبیب الله زلفخانی تشکر و قدردانی می‌نمایم.

از فرد فرد اعضای خانواده‌ام که آسودن من به قیمت فرسودن آنها تمام شد، نهایت سپاسگزاری را دارم. امیدوارم بتوان با سعی و تلاش بیشتر خود در این راه پاسخگوی ذراهای از زحمات آنها باشم.

از تمام دوستانم در دانشگاه زنجان که باعث شدند دوران تحصیل من در این دانشگاه به فصلی به یاد ماندنی در دفتر زندگی‌ام تبدیل شود تشکر می‌نمایم. نام‌های زیر مجموعه‌ای قلم نوشته است که هیچ ترتیبی بر آنها نمی‌توان نهاد اگر نامی در آن نیست حکایت از نبودن یاد نیست و خردۀ بر قلم می‌رود نه بر کاتب.

آقایان: مرادی پور، بوذری، آشتیانی، صفائی، فرج زاده، جوادی، حسینی، امشه، صفری، خلخالی، جفری، افروزان، عبداللهی، حمزه، غنایی و خانم‌ها محمدی و اسدی زنجانی نهایت سپاسگزاری را دارم.

مجید کیامینی

تیر ماه ۱۳۸۸

چکیده

هدف نهایی فناوری^۱ BCI، امکان ایجاد ارتباط و تعامل در بیمارانی است که از ناتوانی‌های جدی حرکتی رنج می‌برند. یکی از کاربردی‌ترین و معروف‌ترین انواع موجود BCI، روش P300 Speller Paradigm مربوط به گروه wadsworth است که سیگنال‌های آن در چارچوب BCI2000 تهیه شده و از طریق سایت اینترنتی BCI2005 در اختیار محققین قرار گرفته است. در این آزمایش، شخص از بین ۳۶ حرف موجود در جدول ۶*۶ شامل حروف و اعداد، می‌بایست روی حرفی که از پیش توسط محقق تعریف شده و در بالای جدول نمایش داده شده است تمرکز نماید. بوسیله آشکارسازی مولفه P300 سیگنال برانگیخته بینایی، تشخیص حرف مورد نظر شخص ممکن می‌شود. در استخراج مولفه P300 از EEG زمینه، لازم است بترتیب سه مرحله پیش پردازش، استخراج ویژگی و طبقه‌بندی کننده برروی سیگنال صورت گیرد. برای بهبود عملکرد سیستم BCI، استفاده از روش‌های مناسب در هر یک از مراحل پردازشی فوق تأثیر بسزایی دارد. ارائه الگوریتم‌هایی که بتوانیم مؤلفه P300 سیگنال EEG را شناسایی کند از مهمترین اهداف این تحقیق است.

در بخش پیش پردازش از دو روش جدید تبدیل موجک^۲ (WT) و الگوریتم تجزیه مد تجربی^۳ (EMD) برای حذف نویز محیطی و کاهش تأثیر فعالیت‌های الکتریکی اعضا بدن برروی سیگنال EEG استفاده شد. نتیجه این امر، افزایش نسبت سیگنال به نویز^۴ (SNR) بود. با مطالعه روش‌های استخراج ویژگی صورت گرفته بر روی دادگان مسابقه P300 Speller توسط گروههای پیشرو، در نهایت سه روش: تجزیه گسسته موجک سیگنال، تجزیه مد تجربی و همچنین ساختار زمانی خود سیگنال بعنوان روش‌های مناسب برای استخراج بردار ویژگی مدنظر قرار گرفت. در این پژوهش، یک روش جدید برای کاهش بعد ویژگی ارائه شده است بطوریکه با حفظ دقت، حجم پردازش نیز به میزان قابل ملاحظه‌ای کاهش می‌باشد. برای این منظور نحوه انجام تبدیل موجک گسسته توسط نرم افزار مطلب را به دقت آنالیز شد و معلوم شد که می‌توان ضرایب کم اهمیت را حذف نموده و بعد ویژگی را به میزان زیادی کاهش داد.

¹ Brain Computer Interface

² Wavelet Transform

³ Empirical Mode Decomposition

⁴ Signal to Noise Ratio

بمنظور کاهش تعداد کانالها نیز ایده جدیدی ارائه شده است. در این ایده کانالهای بهینه توسط یک روش ترکیبی پیشنهادی با استفاده از معیار تمایز پذیری Bhattacharyya و نیز الگوریتم هوشمند^۱ (PSO) انتخاب شدند. در بخش طبقه بندی کننده با معرفی طبقه بندی کننده های^۲ (LDA) و NWFE^۳ و SVM^۴ و MLP^۵، به بررسی عملکرد هر یک از آنها پرداختیم. در نهایت توانستیم با انتخاب روش پیش پردازش مناسب و همچنین بردار ویژگی کاهش یافته حاصل از تجزیه گسسته موجک مادر^۶ db4^۷ و کانالهای بهینه استخراج شده و همچنین با یک طبقه بندی کننده ساده نظری LDA نتایج بهتری را نسبت به نفر دوم مسابقات کسب کنیم. که این ارزیابی بیانگر کارایی الگوریتم های پیشنهادی در این پژوهش می باشد.

¹ Particle Swarm Optimization

² Linear Discriminant Analyzing

³ Non Weighted Feature Extraction

⁴ Support Vector Machine

⁵ Multi Layer Perceptron

فهرست مطالب

۱	۱- تعریف مسأله.....
۲	۱-۱- مقدمه.....
۳	۱-۲- منشاء سیگنال EEG
۷	۱-۳- برخی از خصوصیات EEG
۱۰	۱-۳-۱- عوامل مؤثر بر دامنه و تأخیر P300
۱۱	۱-۳-۲- الگوی Oddball برای استخراج P300
۱۲	۱-۴- تقسیم بندی انواع BCI مبتنی بر EEG
۱۳	۱-۵- بیان مسأله و ساختار نوشتاری پایان نامه.....

فصل دوم

۱۵	۲- معرفی دادگان P300- Speller Paradigm
۱۶	۲-۱- معرفی پروتکل آزمایش
۱۸	۲-۲- معرفی ماتریسهای دادگان
۱۹	۲-۳- شبیه سازی کامپیوتری و استخراج الگوی P300

فصل سوم

۲۶	۳- بررسی روش‌های پردازشی
۲۷	۳-۱- پیش پردازش سیگنال EEG
۲۷	۳-۱-۱- حذف نویز
۲۸	۳-۱-۱-۱- استفاده از فیلتر پایین گذر
۲۹	۳-۱-۱-۲- روش میانگین گیری
۲۹	۳-۱-۱-۳- آنالیز موجک سیگنال
۳۱	۳-۱-۲- حذف آرتیفیکت
۳۲	۳-۱-۲-۱- آنالیز اجزای مستقل ICA
۳۵	۳-۱-۲-۲- حذف OA با استفاده از تبدیل موجک
۳۷	۳-۱-۲-۳- استخراج ویژگی
۳۷	۳-۱-۲-۳-۱- تبدیل موجک
۳۷	۳-۱-۲-۳-۲- تئوری تبدیل موجک
۳۹	۳-۱-۲-۳-۳- تبدیل موجک پیوسته
۴۰	۳-۱-۲-۳-۴- تبدیل موجک گسسته
۴۰	۳-۱-۲-۳-۵- خصوصیات فرکانسی موجک
۴۲	۳-۱-۲-۳-۶- مشخصات مناسب برای انتخاب موجک مادر
۴۳	۳-۱-۲-۳-۷- تجزیه و تحلیل با دقت چند گانه
۴۵	۳-۱-۲-۳-۸- بانکهای فیلتری
۴۷	۳-۱-۲-۳-۹- بسته موجک
۴۸	۳-۱-۲-۳-۱۰- ویژگی های مهم بسته موجک

۴۹	روشهای ارائه شده بهمنظور استخراج ویژگی در حوزه موجک	۲-۱-۲-۳
۴۹	۱-۲-۱-۲-۳-انتخاب ضرایب موجک هر سطح بعنوان بردار ویژگی	
۵۰	۲-۲-۱-۲-۳-ممانهای ضرایب هر سطح	
۵۱	۳-۲-۱-۲-۳-آنتروپی ضرایب هر سطح	
۵۱	۱-۳-۲-۱-۲-۳-آنتروپی شانون	
۵۱	($p \geq 1$) آنتروپی نرم p	
۵۲	۳-۳-۲-۱-۲-۳-آنتروپی لگاریتم	
۵۳	۴-۲-۱-۲-۳-انرژی و میانگین ضرایب هر سطح	
۵۴	۵-۲-۱-۲-۳-استفاده از معیارهای آماری ضرایب موجک	
۵۴	۱-۵-۲-۱-۲-۳-واریانس ضرایب هر سطح	
۵۴	۲-۵-۲-۱-۲-۳-ضریب خود همبستگی ضرایب هر سطح	
۵۴	۳-۵-۲-۱-۲-۳-حداقل ضرایب به حداقل ضرایب هر سطح	
۵۴	۴-۵-۲-۱-۲-۳-RMS ضرایب هر سطح	
۵۴	۳-۱-۲-۳-انتخاب بردار ویژگی بهینه	
۵۵	۱-۳-۱-۲-۳-معیار فیشر	
۵۵	۲-۳-۱-۲-۳-معیار F-Score	
۵۶	۴-۱-۲-۳-انتخاب بهترین سطح تجزیه سیگنال	
۵۶	۵-۱-۲-۳-انتخاب بهترین زیر باند	
۵۹	۲-۲-۳-استخراج ویژگی با استفاده از EMD	
۶۳	۳-۲-۳-استفاده از خود سیگنال بعنوان ویژگی	
۶۳	۳-۳-طبقه بندی کننده	
۶۳	۱-۳-۳-شبکه های عصبی	
۶۶	۲-۳-۳-بردار پشتیبان ماشین	
۷۰	۳-۳-تابع جدا کننده خطی	
۷۳	۴-۳-۳-استخراج ویژگی وزن دار غیر پارامتریک	

فصل چهارم

۷۶	ارائه روشهای پیشنهادی	
۷۷	۱-۴-روش های پیشنهاد شده برای حذف نویز و آرتیفیکت	
۷۷	۱-۱-۴-بررسی تکه ای سیگنال برای شناسایی OA و استفاده از ضریب وابستگی برای حذف OA	
۸۱	۲-۱-۴-حذف نویز و آرتیفیکت توسط EMD	
۸۱	۱-۲-۱-۴-حذف نویز	
۸۲	۲-۱-۴-حذف آرتیفیکت	
۸۵	۲-۴-روشهای پیشنهاد شده برای استخراج بردار ویژگی	
۸۵	۱-۲-۴-بردار ویژگی بر اساس آنالیز موجک	
۸۶	۲-۱-۱-۴-انتخاب موجک مادر مناسب	
۸۷	۲-۱-۲-۴-انتخاب زیر باند مناسب	
۸۸	۲-۱-۲-۴-انتخاب بر اساس ناحیه فرکانسی زیر باندها	

۸۹	۴-۲-۱-۲-۴-انتخاب بر اساس معیار فیشر
۹۰	۴-۲-۳-۱-۲-استخراج ضرایب با ارزش در هر سطح
۹۵	۴-۲-۱-۴-انتخاب بهترین کانالها
۱۰۱	۴-۲-۱-۵-کاهش تعداد کانال بهینه بدست آمده از روش Bhattacharyya
۱۰۳	۴-۲-۱-۵-۱-الگوریتم PSO
۱۰۸	۴-۲-۲-بردار ویزگی براساس آنالیز EMD
۱۰۸	۴-۲-۳-الگوی زمانی سیگنال
۱۱۲	۴-۳-طبقه بندی کننده
	فصل پنجم
۱۱۲	نتیجه گیری و پیشنهادات
۱۱۳	۵-۱-نتیجه گیری
۱۱۷	۵-۲-پیشنهادات
۱۱۸	فهرست منابع

فهرست اشکال

شكل ۱-۱: (الف) ساختار کلی یک نرون و (ب) تحوه انتشار پتانسیل در یک نرون.	۴
شكل ۲-۱: (الف) شکل کلی امواج باندهای مختلف مغز و (ب) شکل کلی امواج مغز در شرایط ذهنی مختلف (از بالا به پایین شخص تحریک).	۶
شكل ۳-۱: شکل تقریبی نواحی مختلف برخی از فعالیتها در مغز [۴].	۶
شكل ۴-۱: (الف) در الکترودهای Fz و C3 در ابتدا شاهد ERS و به مرور زمان ERD هستیم دقیقاً خلاف این روند برای الکترودهای P4، OZ و P3 مشاهده می‌شود. (ب) در زمانهایی که شاهد ERS برای Mu هستیم برای باندهای بتا و گاما، ERD روی داده است [۴].	۸
شكل ۵-۱: (الف) سیگنال ناشی از تحریک دیداری و (ب) تحریک شنیداری [۴].	۹
شكل ۶-۱: مقایسه سیگنال P300 در (الف) یک شخص فلچ و (ب) یک فرد سالم [۷].	۱۰
شكل ۷-۱: الگوی تحریک Oddball برای استخراج P300.	۱۱
شكل ۸-۱: شماتیک یک سیستم BCI.	۱۲
شكل ۹-۱: محل قرار گیری الکترودها در استاندارد ۱۰-۲۰.	۱۳
شكل ۱۰-۱: تصویر مربوط به صفحه ۳۶ حرفی که برای ثبت EEG به فرد نشان داده می‌شود.	۱۷
شكل ۱۱-۲: نحوه قرار گرفتن الکترودهای ثبت دادگان 2005 BCI Competition بر اساس استاندارد ۱۰-۲۰.	۱۷
شكل ۱۲-۲: نمایش ماتریسهای کد تحریک، نوع تحریک و ماتریس فلشنینگ برای کاراکتر V.	۱۹
شكل ۱۳-۲: نمایش میانگین سیگنالهای حاوی موج (P300 با خطوط پر) و میانگین سیگنالهای فاقد موج (P300 با خطچین) برای کانالهای مختلف شخص A.	۲۱
شكل ۱۴-۲: نمایش میانگین سیگنالهای حاوی موج P300 (با خطوط پر) و میانگین سیگنالهای فاقد موج P300 (با خطچین) برای کانالهای مختلف شخص B.	۲۳
شكل ۱۵-۲: نمایش همزمان میانگین سیگنالهای حاوی موج P300 برای شخص A و B.	۲۴
شكل ۱۶-۲: نمایش سیگنال EEG متناظر با حرف V.	۲۴
شكل ۱۷-۲: نمایش سیگنال EEG و طیف فرکانسی آن.	۲۵
شكل ۱۸-۲: نمایش سیگنال EEG نویز دار در حوزه زمان و فرکانس.	۲۸
شكل ۱۹-۲: نمایش سیگنال EEG فیلتر شده در حوزه زمان و فرکانس.	۲۸
شكل ۲۰-۲: (الف) سیگنالهای اصلی، (ب) سیگنالهای مخلوط شده، (ج) سیگنالهای بازیابی شده.	۳۴
شكل ۲۱-۲: توزیع چگالی احتمال $P(x_1, x_2)$.	۳۵
شكل ۲۲-۲: نمایش ناحیه OA در سیگنال EEG توسط موجک هار.	۳۶
شكل ۲۳-۲: نحوه موزائیک بندی صفحه زمان فرکانس در STFT.	۳۸
شكل ۲۴-۲: وجود تغییرات آرام و سریع در یک سیگنال.	۳۸
شكل ۲۵-۲: نحوه موزائیک بندی غیریکنواخت صفحه زمان فرکانس در تبدیل موجک.	۳۹
شكل ۲۶-۲: موقیت فضاهای W و V نسبت به هم.	۴۴
شكل ۲۷-۲: تجزیه ضرایب و ترکیب مجدد ضرایب بسط موجک.	۴۶
شكل ۲۸-۲: نمایش ضرایب فیلتر مقیاس db6، بانکهای فیلتری و طیف فرکانسی آنها.	۴۷
شكل ۲۹-۲: تجزیه سیگنال در ساختار درختی بسته موجک.	۴۷

شکل ۱۳-۳: نمایش زیرفضای تجزیه بسته موجک در بخش جزئیات.....	۴۸
شکل ۱۴-۳: نمایش ساختار درختی بسته موجک و تقسیم بندی پهنهای باند فرکانسی در هر مقیاس.....	۴۸
شکل ۱۵-۳: مقدار T^2 به ازای: (الف) ممان اول، (ب) ممان دوم، (ج) ممان سوم، (د) ممان چهارم [۲۴].....	۵۱
شکل ۱۶-۳: الف) نمایش زیر باندهای تجزیه سیگنال ، ب) نمایش ضرایب تمیز کننده در هر زیر باند.....	۵۸
شکل ۱۷-۳: نواحی هاشور خودره بیانگر زیر باندهای انتخابی است.....	۵۸
شکل ۱۸-۳: نمایش سیگنال EEG و سطح IMFs و سیگنال باقی مانده توسط آنالیز EMD.....	۶۲
شکل ۱۹-۳: شمای کلی یک نرون پرسپترون.....	۶۴
شکل ۲۰-۳: مرز تصمیم گیری خطی دو کلاس کاملاً جدا از هم ، که در حالت دو بعدی یک خط و در حالت سه بعدی یک صفحه است.....	۶۶
شکل ۲۱-۳: الف) مرز تصمیم گیری بهینه برای جداسازی دو کلاس ب) مرز تصمیم گیری غیر بهینه برای جداسازی دو کلاس.....	۶۷
شکل ۲۲-۳: نمایش تغیرات شبیه و افست، برتریب به ازای تغیرات V_0 و V_1	۷۱
شکل ۲۳-۳: نمایش فاصله نمونه های دو کلاس نسبت به میانگین وزن دار شده هر یک از آنها.....	۷۴
شکل ۱-۴: نمایش سیگنال EEG و تخمین موجک هار در سطح ۶.....	۷۷
شکل ۲-۴: تقسیم بندی سیگنال EEG به پنجره های ۴۰ نمونه ای.....	۷۸
شکل ۳-۴: نمایش سیگنالهای ۵۱، ۵۶، ۲۲، ۲۴، ۶۰ و سیگنال میانگین حاصل از آنها.....	۷۹
شکل ۴-۴: حذف ناحیه OA با استفاده از روش تکه ای و محاسبه ضریب وابستگی بین سیگنال EEG و میانگین سیگنال کانالهای ۵۱، ۵۶، ۲۲ و ۶۰	۷۹
شکل ۵-۴: ناحیه OA در سیگنال EEG و سیگنال میانگین	۸۰
شکل ۶-۴ : حذف ناحیه OA با استفاده از روش تکه ای و محاسبه ضریب وابستگی بین ضرایب موجک سیگنال EEG و ضرایب موجک سیگنال میانگین گرفته شده کانالهای ۵۱، ۵۶، ۲۲، ۶۰ و ۲۴.....	۸۱
شکل ۷-۴: مقایسه بین عملکرد الگوریتم EMD و فیلتر پایین گذر برای حذف آرتیفیکت.....	۸۳
شکل ۸-۴: میزان SER خروجی در الگوریتم EMD و فیلتر پایین گذر به ازای SNR های مختلف ورودی.	۸۴
شکل ۹-۴: میزان RMSE خروجی در الگوریتم EMD و فیلتر پایین گذر به ازای SNR های مختلف ورودی.	۸۴
شکل ۱۰-۴: نمایش سیگنال EEG آرتیفیکت دار و سیگنال EEG عاری از آرتیفیکت بدست آمده توسط الگوریتمهای EMD و فیلتر پایین گذر.....	۸۴
شکل ۱۱-۴: زیر باندهای انتخاب شده توسط الگوریتم LDB	۸۸
شکل ۱۲-۴: (الف) مقدار فاصله فیشر برای هر ویژگی، (ب) بردارهای ویژگی با قیمانده پس از آستانه گیری	۸۹
شکل ۱۳-۴: شماتیک تجزیه موجک سیگنال در دو سطح اول.....	۹۰
شکل ۱۴-۴: فیلتر تجزیه و بازسازی موجک مادر 'db4'.....	۹۳
شکل ۱۵-۴: ارزیابی معیار فیشر برای تمایز پذیری هر یک از ۶۴ کانال داده آموزشی Subject_B	۹۷
شکل ۱۶-۴: ارزیابی معیار F-Score برای تمایز پذیری هر یک از ۶۴ کانال داده آموزشی Subject_B	۹۸
شکل ۱۷-۴: ارزیابی معیار Bhattacharyya برای تمایز پذیری هر یک از ۶۴ کانال داده آموزشی Subject_B	۹۸

شکل ۱۸-۴: ارزیابی معیار Hotelling Distance برای تمایز پذیری هر یک از ۶۴ کانال داده آموزشی
۹۹Subject_B

شکل ۱۹-۴: ارزیابی طبقه بندی کننده به ازای ۳۰ کانال اول انتخابی توسط معیار Bhattacharyya

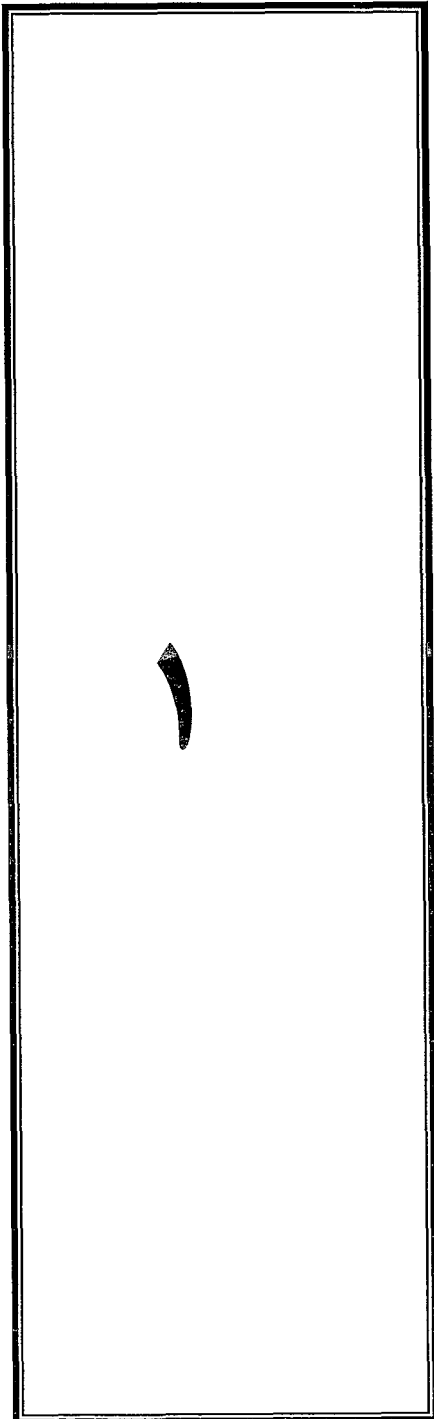
شکل ۲۰-۴: نمایش تغییرات میانگین ارزش جمعیت و تغییرات ارزش بهترین ذره به ازای هر تکرار ۱۰۶

فهرست جداول

جدول ۱-۱: بررسی هر بخش از قشر سطحی مغزی [۱] و [۴]	۷
جدول ۱-۳: فرکانس مرکزی توابع موجک و توابع مقیاس برای چند موجک مادر	۴۲
جدول ۲-۳: رنج فرکانسی فعالیتهای مغزی [۲۳]	۴۹
جدول ۳-۳: رنج فرکانسی به ازای ترکیب سطوح مختلف تجزیه موجک [۲۳]	۵۰
جدول ۴-۳: مقایسه بین الگوریتمهای فوریه و موجک و سری-زمانی EMD	۶۰
جدول ۴-۱: ارزیابی طبقه بندی کننده بردارهای ویژگی مختلف	۸۶
جدول ۴-۲: ارزیابی موجک های مادر مختلف به ازای تکرارهای مختلف برروی داده های آموزشی	۸۷
جدول ۴-۳: ارزیابی زیر باند های مختلف در تجزیه موجک	۸۸
جدول ۴-۴: ارزیابی طبقه بندی کننده به ازای بردارهای ویژگی مختلف برای زیر باندهای مناسب انتخابی توسط معیار فیشر	۹۰
جدول ۴-۵: ارزیابی انتخاب ضرایب با ارزش بعنوان بردار ویژگی	۹۵
جدول ۴-۶: ارزیابی کانال های انتخابی توسط معیار Bhattacharyya	۱۰۰
جدول ۷-۴: ارزیابی هر یک از پنج مجموع کانال به ازای تکرارهای مختلف	۱۰۰
جدول ۸-۴: مجموعه کانال بهینه انتخاب شده توسط الگوریتم PSO	۱۰۶
جدول ۹-۴: ارزیابی مجموعه کانال های موجود در جدول ۸-۴ به ازای تکرارهای مختلف	۱۰۷
جدول ۱۰-۴: ارزیابی مجموعه کانال ارائه شده در مراجع [۶۲، ۶۳، ۶۴]	۱۰۷
جدول ۱۱-۴: ارزیابی طبقه بندی کننده به ازای بردارهای ویژگی EMD و الگوی زمانی سیگنال	۱۰۹
جدول ۱۲-۴: ارزیابی انواع طبقه بندی کننده به ازای تکرارهای مختلف	۱۱۱
جدول ۱-۵: نتایج بدست آمده توسط ۱۰ گروه برتر مسابقات به ازای ۵ و ۱۵ بار تکرار	۱۱۳
جدول ۲-۵: ارزیابی انواع طبقه بندی کننده به ازای بردار ویژگی بدست آمده از تجزیه موجک مربوط به شخص A	۱۱۴
جدول ۳-۵: ارزیابی انواع طبقه بندی کننده به ازای بردار ویژگی بدست آمده از تجزیه EMD مربوط به شخص A	۱۱۴
جدول ۴-۵: ارزیابی انواع طبقه بندی کننده به ازای بردار ویژگی بدست آمده از ساختار زمانی سیگنال مربوط به شخص A	۱۱۵
جدول ۵-۵: ارزیابی انواع طبقه بندی کننده به ازای بردار ویژگی بدست آمده از تجزیه موجک مربوط به شخص B	۱۱۵
جدول ۶-۵: ارزیابی انواع طبقه بندی کننده به ازای بردار ویژگی بدست آمده از تجزیه EMD مربوط به شخص B	۱۱۶
جدول ۷-۵: ارزیابی انواع طبقه بندی کننده به ازای بردار ویژگی بدست آمده از ساختار زمانی سیگنال مربوط به شخص B	۱۱۶
جدول ۸-۵: ارزیابی نتایج بدست آمده در این پژوهش با ۵ نفر برتر مسابقات	۱۱۶

فصل اول

تعريف مسئله



نحوه فعالیت سلولهای مغزی که منشاء سیگنالهای مغزی (EEG^۱) هستند، تا حدودی به وضعیت روحی-روانی و شرایطی که فرد در آن به سر میبرد بستگی دارد. بنابراین از بد و کشف این سیگنالها محققان برآن شدند تا با ثبت، پردازش و تفکیک سیگنالهای EEG مربوط به وضعیتهای مختلف ذهن راهی تازه برای ایجاد ارتباط انسان با کامپیوتر (HCI^۲) بیابند. رابط انسان-کامپیوتر به عنوان یک وسیله ارتباطی بین انسان و کامپیوتر مطرح شده است. این وسیله ارتباطی ابزار رایج ارتباط انسان با کامپیوتر را کنار گذاشته و دیگر از ابزاری نظیر صفحه کلید، موس و ... برای ارسال دستورات کاربر به کامپیوتر استفاده نمی‌کند. شاید بتوان گفت که پر کاربردترین سیستم HCI که هم اکنون در زمینه‌های مختلف بکار گرفته شده است، BCI‌های براساس EEG می‌باشد. در این سیستم جریانهای الکتریکی ناشی از فعالیت سلولهای مغزی در سطح سر دریافت، شناسایی و طبقه‌بندی می‌شود. با پردازش این سیگنالها می‌توان تا حدود زیادی به شرایطی که مغز در آن بسر می‌برد پی برد و از این طریق بین فرد با کامپیوتر ارتباط برقرار کرد. البته در این بین سیگنالهای دیگری هم می‌توانند مورد استفاده قرار گیرند که EMG^۳، EOG^۴ و ... از این جمله‌اند؛ اما سیگنال EMG در بسیاری از افراد دارای بیماری‌هایی که فرد دچار فلنج در اندامهای حرکتی می‌باشد قابل استفاده برای HCI نیست. سیگنال EOG و استفاده از تشخیص جهت خیرگی هر چند که به علت سرعت و دقیق نسبتاً زیاد برای ارتباطهای ابتدایی وساده می‌تواند پر فایده باشد، ولی اطلاعات نسبتاً کمی را در اختیار می‌گذارد و سیگنال به اندازه کافی غنی نیست تا بتوان از آن به عنوان یک HCI همه جانبه استفاده کرد. استفاده از MEG و fMRI به لحاظ اقتصادی قابل قبول نیست و نیاز به تجهیزات پیچیده دارد. به علاوه نیازمند فضای بزرگی برای پیاده سازی می‌باشد و یک فرد خبره و کارآزموده باید در هنگام استفاده از دستگاه همراه بیمار باشد. استفاده از سیگنال صحبت شخص با وجود اطلاعات غنی که می‌تواند در بر داشته باشد به علت اینکه بسیاری از بیماران نیازمند این وسیله ارتباطی، قادر به تکلم نیستند؛ در بسیاری از افراد قابل استفاده نمی‌باشد.

اما سیگنال EEG بدلیل اینکه مغز مرکز فرماندهی و تصمیم گیری حرکات و فعالیتهای ارادی و قسمت زیادی از فعالیتهای غیر ارادی است حاوی اطلاعات بسیار غنی و زیادی از قسمتهای مختلف بدن می‌باشد. در اکثر افراد بیمار حتی در مورد بیمارانی که دچار ضایعه مغزی شده اند هنوز با اطمینان قابل دسترسی است. به لحاظ اقتصادی نسبتاً مقرن به صرفه است و نیاز به آموزش

¹ Electroencephalogram

² Human Computer Interface

³ Electrooculogram

سنگین فرد برای کار با دستگاه نیست. درنتیجه شاید بتوان گفت بهترین گزینه برای HCl، استفاده از EEGهای براساس BCI میباشد. برخی خواص سیگنال EEG خصوصاً هنگامی که فرد بر اثر بیماری، حادثه و یا بطور مادرزادی توانایی حرکت و تکلم را از دست میدهد، مورد توجه است. به هنگام حرکت ارادی دست و پا، اعمال تحریک خارجی به فرد و یا درگیر شدن ذهن فرد با یک سری فعایتهای ذهنی خاص، تغییرات مشخصی در سیگنال EEG ایجاد میگردد. این تغییرات ابزار مناسبی برای ایجاد ارتباط با افراد معلول را فراهم میآورد.

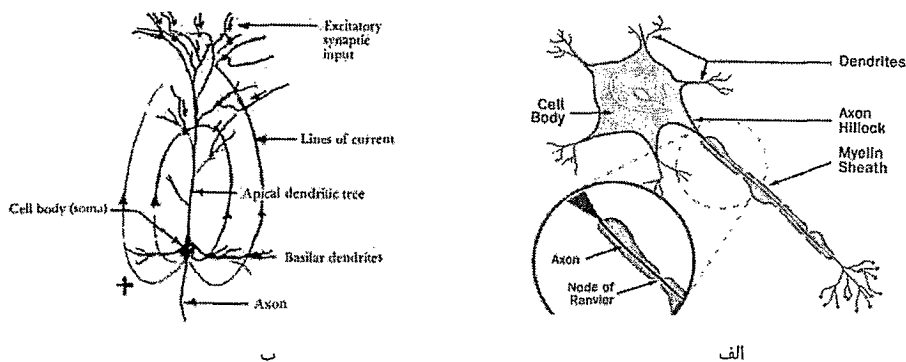
موج P300 از پتانسیل های برانگیخته با منشاء درونی است که به دلیل پایداری در افراد مبتلا به ناتوانی های شدید جسمی و حتی مغزی مورد توجه فراوان قرار گرفته است. دامنه این موج در مقایسه با نویزهای محیطی، آرتیفیکتهای حرکتی و اغتشاش پلک زدن بسیار ضعیف است. بنابراین برای ایجاد یک رابط مغز-کامپیوتر قابل اعتماد با دقت مناسب در یک شخص، نیاز به استفاده از چند بار تحریک و ثبت مکرر سیگنال EEG است.

کاهش تعداد ثیتهای EEG و در عین حال حفظ دقت تشخیص حضور P300، از عمدۀ ترین اهداف مطالعات انجام گرفته در زمینه ایجاد رابط مغز-کامپیوتر با استفاده از P300 است. فعالیتهای صورت گرفته در چهار بخش عمدۀ خلاصه میشوند؛ ۱) پیش پردازش اولیه سیگنال EEG ثبت شده از سطح سر به منظور حذف نویز و رسیدن به EEG عاری از نویزهایی چون پلک زدن و سایر آرتیفیکت های معمول، ۲) استخراج ویژگیهایی از این سیگنال فیلترشده به عنوان ابزاری برای طبقه بندی، ۳) انتخاب بهترین ویژگیها برای رسیدن به یادگیری بهتر در اثر حذف ویژگیهای نامرتب و ۴) استفاده از طبقه بندی کننده های مختلف که قابلیت یادگیری مرز بین ویژگیهای ورودی را داشته باشند.

۲-۱ منشاء سیگنال EEG

در مغز جمعیت بسیار زیادی از سلولهای عصبی وجود دارند که هر دسته از آنها وظيفة خاصی به عهده دارند؛ به عنوان مثال سلولهای گلیا وظيفة یکسری از پردازشها مربوط به فعالیت سلولها را بر عهده دارند. این انبوه نرونها از طریق دندریتها و آکسونها در سیناپسها با یکدیگر در ارتباطند و شبکه بسیار پیچیدهای را بوجود میآورند. در این شبکه عظیم که در ابتدای تولد انسان شامل 10^{11} نرون با چگالی 10^4 نرون در هر میلی متر مکعب است هر سلول به نوبه خود پتانسیلی در داخل این هادی حجمی ایجاد میکند [۱]. این پتانسیلها به صورت یک تغییر در اختلاف پتانسیل حالت استراحت سلول و توسط میکروالکترودی که داخل سلول جای گرفته است قابل ثبت است. عمدۀ این فعالیت ناشی از تحریکات سیناپسی است. این تحریک سیناپس یک سلول، سبب تغییر در

پتانسیل استراحت غشای سلول می‌گردد و این باعث فعال شدن غشای مجاور می‌گردد و ناحیه همسایگی خود را از استراحت خارج می‌کند و این ناحیه تحریک شده جدید همین عمل را با همسایگی خود انجام می‌دهد و بدین ترتیب این پتانسیل تمام طول سلول و آکسون را طی می‌کند تا به انتهای آن می‌رسد و در آنجا با تحریک دندریتهای سلولهای مجاور که قابلیت تحریک شدن را داشته باشند باعث تحریک آنها می‌گردد و این روش تا انتهای ادامه می‌یابد [۱] و [۲].



شکل ۱-۱: (الف) ساختار کلی یک نرون و (ب) نحوه انتشار پتانسیل در یک نرون.

وجود پسخورد در قسمتهای مختلف این شبکه سبب بوجود آمدن نوساناتی در بخشهایی از آن می‌شود و بطور کلی هر چه تعداد نزونهایی که با یکدیگر و هماهنگ کار می‌کنند بیشتر باشد، فرکانس نوسان پایین‌تر و دامنه بیشتر می‌شود. برآیند این پتانسیلهای که قابل ثبت هستند را سیگنال EEG می‌گویند. در سال ۱۸۷۵ دانشمند انگلیسی ریچارد کیتون برای نخستین بار به وجود این سیگنالها در مغز خرگوشها و میمونها پی برد و در سال ۱۹۲۵ دانشمند آلمانی، هانس برگر، توانست با تقویت سیگنالهای بدست آمده از سطح سر انسان بدون نیاز به شکافتن سر این سیگنالها را ثبت کند. در سال ۱۹۳۴، آدریان و ماتیوس در مقالات خود از وجود یک موج نسبتاً منظم در محدوده فرکانسی ۱۰ تا ۱۲ هرتز خبر دادند و آن را آلفا نامیدند. در مطالعات بعدی محدودهای بزرگتری از سیگنال EEG بدست آمده از سطح سر گزارش شد [۱]، [۲] و [۳]. مهمترین دسته بندی امواج مغزی به لحاظ فرکانسی بصورت زیر است:

بنا : بزرگتر از 13Hz . عموماً هر سیگنال در این محدوده فرکانسی به عنوان سیگنال بتا تلقی می‌شود. به ندرت دامنه این سیگنال از 30 میکروولت افزایش می‌یابد. بیشتر در نواحی جلویی و مرکزی سر دیده می‌شود. در نواحی مرکزی با امواج میو ارتباط نزدیکی دارد و همانند آن در هنگام حرکت ناپدید می‌شود.

آلfa و میو : بین ۸Hz تا ۱۲Hz و دامنه کمتر از ۵۰ میکروولت. آلfa در ناحیه کرتکس پس سری و میو در ناحیه کرتکس حسی-حرکتی دیده می‌شود و با انجام حرکت یا تصور آن ناپدید می‌شود. تعریف زیر برای امواج آلfa از طرف فدراسیون بین المللی جوامع برای الکتروانسفالوگرافی و نروفیزیولوژی کلینیکی ارائه شده است [۴] : "سیگنالی با محدوده فرکانسی بین ۸ تا ۱۲ هرتز که در هنگام هشیاری فرد در قسمت عقبی سر دیده می‌شود و در نواحی پس سری دامنه آن بیشتر است. دامنه آن متغیر است ولی همواره زیر ۵۰ میکرو ولت است. با بستن چشمها و تحت شرایط آرامش یا برخی فعالیتهای خاص تقویت می‌شود. با جلب شدن توجه، مخصوصاً توجه بصری، و یا افزایش فعالیت ذهن کاهش می‌باید یا حذف می‌شود."

امواج آلfa با باز کردن چشم یا در گیر شدن ذهن در فعالیتهای پیچیده بطور موقت ناپدید می‌شود. هرچند که این دو موج از نظر فرکانسی و دامنه بسیار نزدیک هستند ولی به لحاظ فیزیولوژیکی و مکانی منشاء متفاوتی دارند. امواج میو مربوط به کرتکس حرکتی است و در نواحی کرتکس حسی مجاور نیز قابل روئیت است. در هنگام انجام حرکت و یا حتی تصور انجام حرکت ناپدید می‌شود.

تتا : بین ۴ هرتز تا ۸ هرتز، در افراد بالغ در ساعات هشیاری بسیار ضعیف می‌باشد و با فرو رفتن فرد به حالت خواب‌آسودگی افزایش می‌باید. در دوران خردسالی و کودکی دامنه این سیگنال قویتر است.

دلتا : بین ۰/۵ هرتز تا ۴ هرتز. در نوزادان و سنین حدود دو ماهگی در سیگنال EEG حضور زیادی دارد ولی در افراد بالغ فقط در هنگام خواب رویت می‌شود [۲] و [۴].

در حالت کلی با توجه به آنچه در بالا ذکر شد می‌توان روند شکل ۲-۱ را برای وضعیتهای مختلف ذهن ارائه کرد. همانطور که مشاهده می‌شود با افزایش میزان میزان فعالیت ذهن دامنه کمتر و فرکانس بیشتر شده است.

این بدین معنی است که احتمالاً با پردازش سیگنال EEG می‌توان تا حدودی به میزان و نحوه فعالیت ذهن پی برد. در بسیاری از موارد هر عمل فیزیکی و یا ذهنی مکان مشخصی در مغز به خود اختصاص داده، و بنابراین یک نقشهٔ مکانی مطابق شکل ۳-۱ می‌توان برای آن در نظر گرفت. هر مکان در صورت انجام وظیفهٔ مربوطه، شروع به فعالیت می‌کند. این فعالیت سبب تغییر در جریانهای موجود در همان قسمت می‌شود و این تغییرات را می‌توان با الکترودهای سطحی در سطح مغز و یا با الکترودهای کاشتنی در درون مغز ثبت نمود.